# Messung der Positron- und Elektronflüsse in der kosmischen Strahlung mit AMS01

Henning Gast

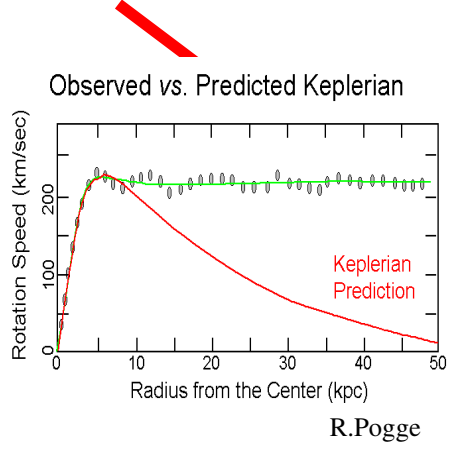
I. Physikalisches Institut B



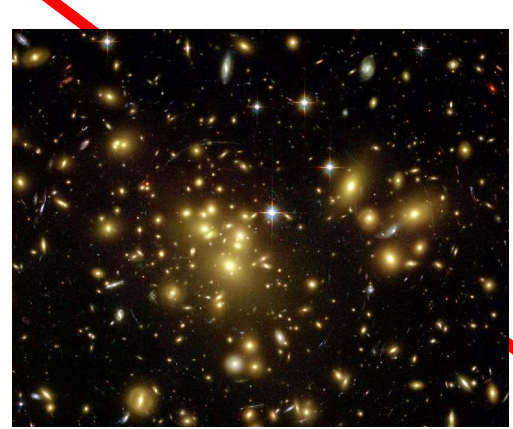
### Übersicht

- Dunkle Materie im Universum
- Das AMS01-Experiment
- Zusammenfassung der Analyse
- Vorläufige positron fraction
- Flussmessung

#### Motivation: Evidenz für dunkle Materie



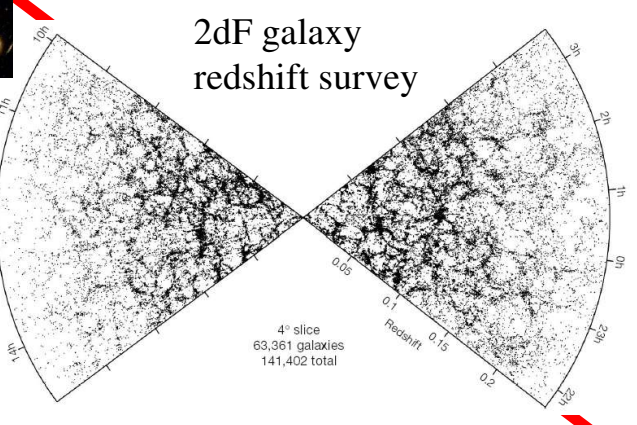
Rotationskurve einer Spiralgalaxie



Abell 1689, HST

#### Galaxien-Cluster:

- Eigengeschwindigkeiten
- Röntgenemissionen des heißen Gases
- Schwacher Gravitationslinseneffekt



Großräumige Struktur des Universums

**WMAP** 

auf allen Längenskalen

Anisotropie der kosmischen Hintergrundstrahlung

### Kandidat: SUSY-Neutralino

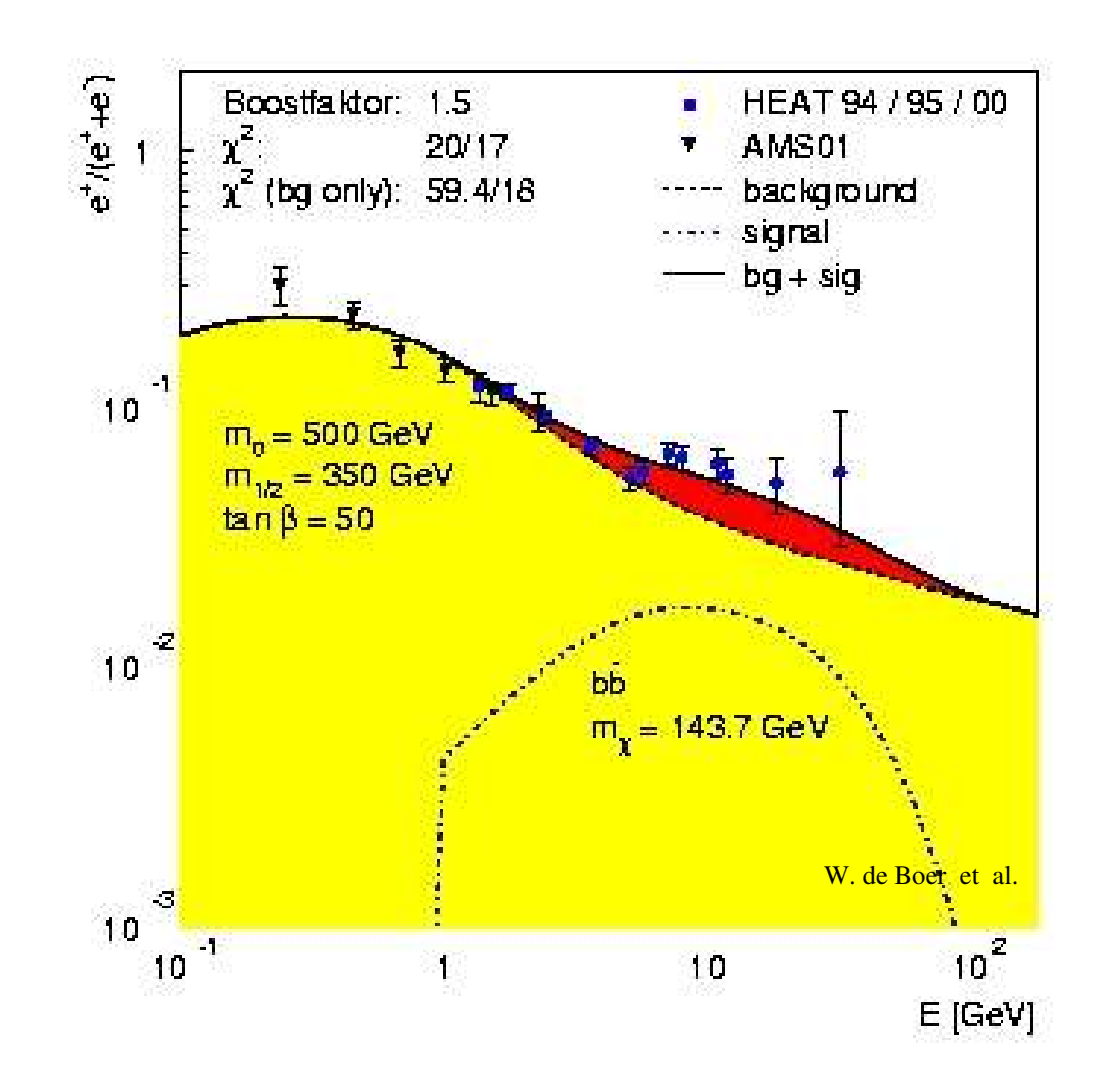
**Neues Teilchen?** 

- stabil
- nur schwache WW mit "normaler" Materie

Eigenschaften des in bestimmten SUSY-Modellen vorhandenen Neutralino

Szenario: SUSY mit Erhaltung der R-Parität (2 SUSY-Felder am Vertex)

⇒ LSP ist stabil und WW mit normaler Materie nur über elastische Streuung



Annihilation u.a.  $\chi\chi \rightarrow l^{+}l^{-}$ ,  $W^{+}W^{-}$ , qq, ...

⇒ primäre Positronenquelle

Fluss sekundärer Positronen muss bekannt sein

## Das AMS01 - Experiment

Teilchendetektor im Weltraum als Prototyp für das AMS-02 Experiment

#### Permanentmagnet

Zylindrischer Dipol, 0.14 T

#### 2 Szintillator-Doppellagen (TOF)

 $\beta$ - und Flugrichtungsmessung, Z-Messung, Trigger

#### Spurdetektor (Si-Streifensensoren)

6 Lagen (doppelseitig), analoge Auslese Tracking, dE/dx (f. Z > 1) (Aachen: Alignment)

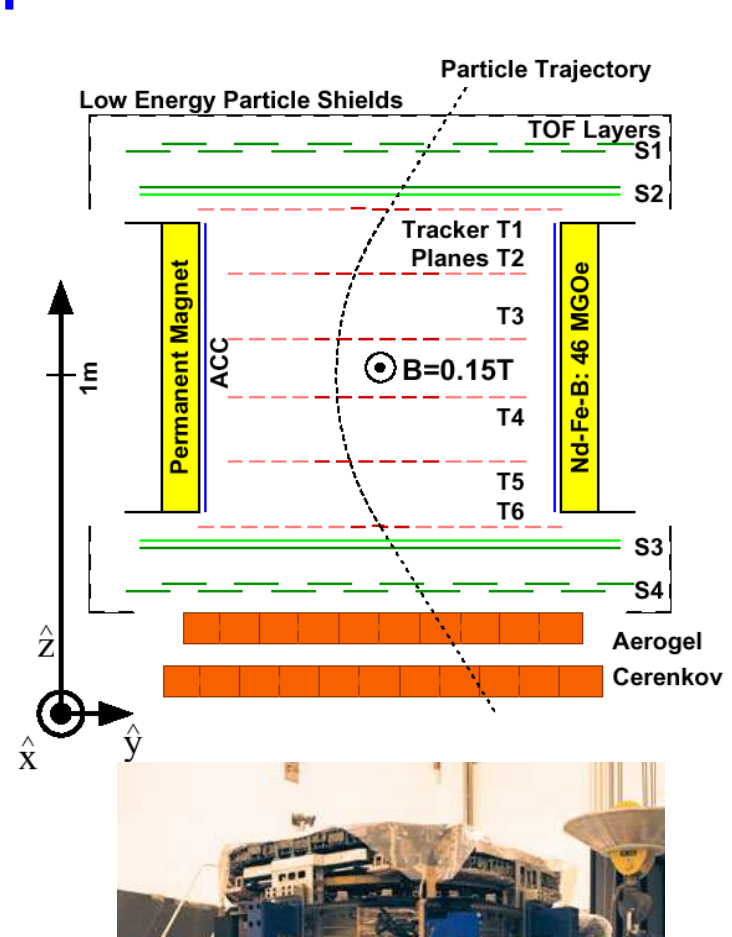
#### Anticounter-Szintillatoren (Aachen)

Veto gegen Spuren, die den Magneten queren

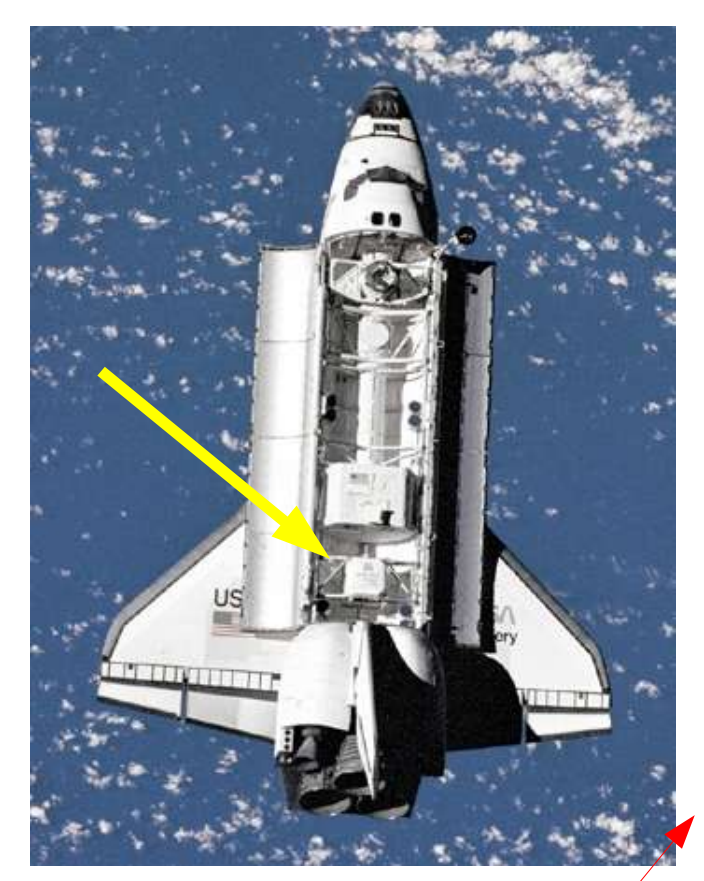
## 2 Lagen Aerogel-Čerenkov-Zähler 8 Massung a/R Separation bis 3 5 CoV

 $\beta$ -Messung, e/P-Separation bis 3.5 GeV

# Unterscheidung Proton → Positron oberhalb von 3.5 GeV mit Einzelspuren nicht möglich!



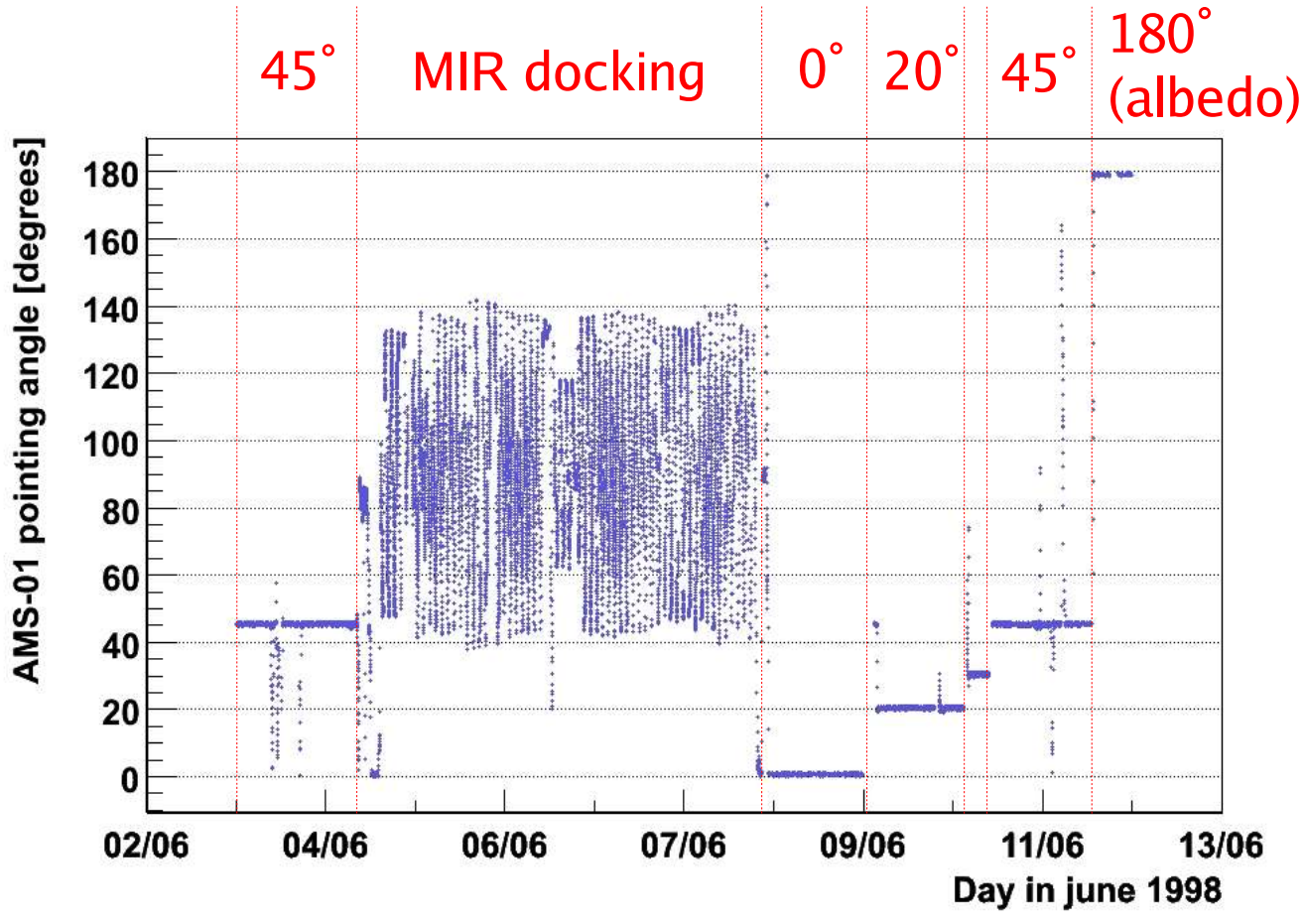
#### AMS01 auf der STS91-Mission



Dauer: 10 Tage

Flughöhe: 320-390 km

## Datennahme-Perioden bei verschiedenen Zenit-Winkeln



## Identifikation hochenergetischer e<sup>+</sup> und e<sup>-</sup>

Ziel: Messung des Verhältnisses der e<sup>+</sup>- und e<sup>-</sup>-

Flüsse oberhalb der Čerenkov-Schwelle.

Problem: Verhältnis von p zu e<sup>+</sup> in der kosmischen

Strahlung ist ca 10000:1

Lösungsansatz: Suche nach konvertierten

Bremsstrahlungsphotonen.

$$\sigma_{\text{brems}} \sim 1 / \text{m}^2$$

Für Protonen stark unterdrückt (ca. 3.106)

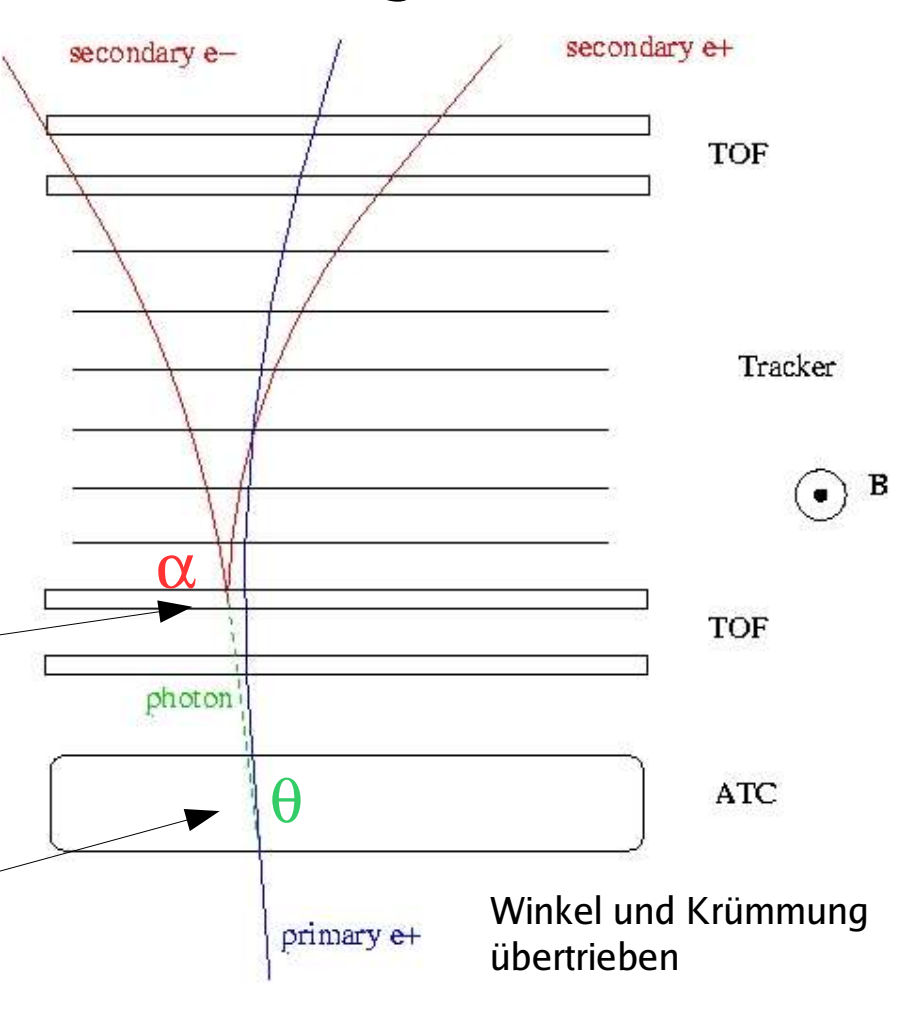
Invariante Masse des sekundären Elektron-Positron-Paares:

$$m_{
m inv}^2 pprox 4p_1p_2\sin^2rac{lpha}{2}$$

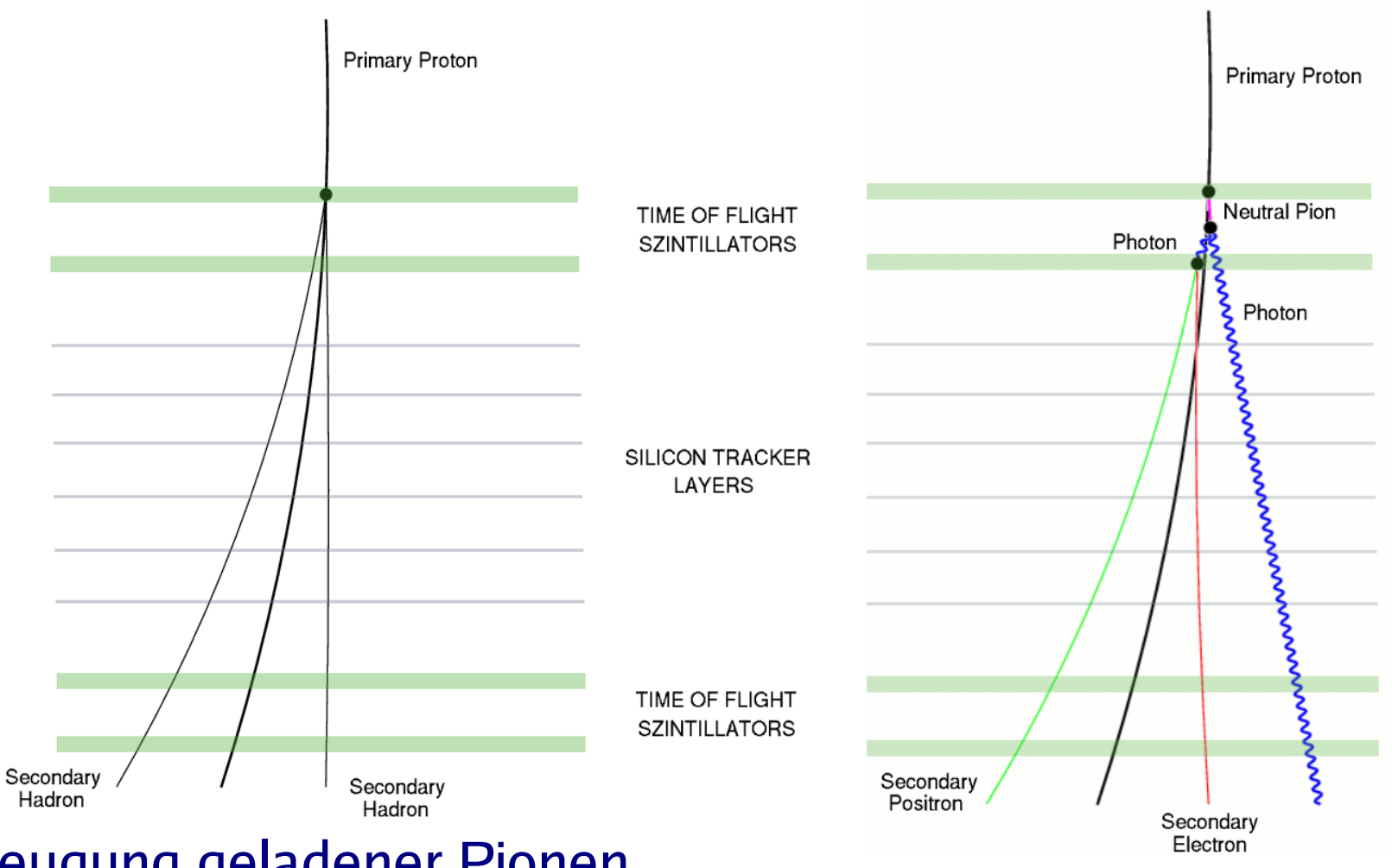
Mittlerer Winkel der Abstrahlung:

$$heta_{
m rms} \propto rac{\ln \gamma}{\gamma}$$

#### Gesuchte Signatur:



## **Dominanter Untergrund**



Erzeugung geladener Pionen  $p+p \rightarrow p+p+\pi^{+}+\pi^{-}(+X)$ 

Zerfall neutraler Pionen

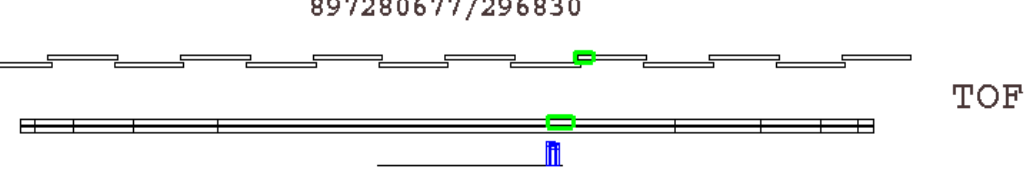
$$p+p \rightarrow p+p+\pi^{0}(+X)$$
 $\downarrow \gamma \gamma \rightarrow \gamma e^{+} e^{-}$ 

+ e<sup>-</sup> mit falsch rekonstruierter Ladung

## Drei Spuren – ohne externe Seeds

Clustering in der Krümmungsebene

Lagen mit genau 3 Clustern zur Erzeugung von Spurseeds

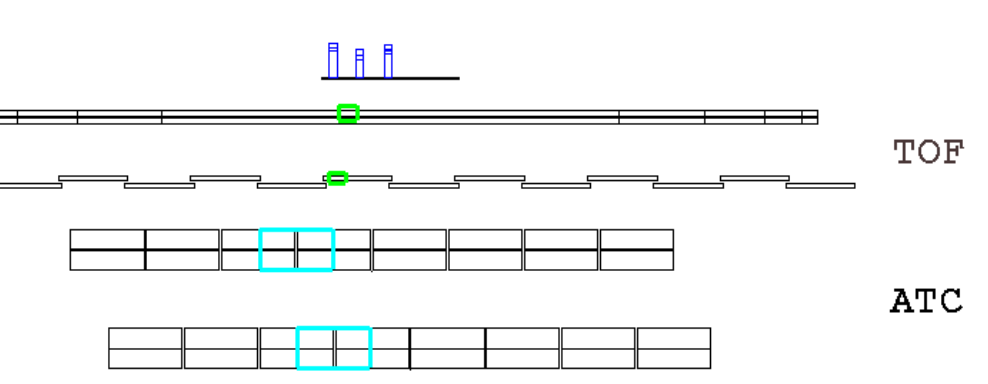


Seed-Cluster müssen "dreieckige" Topologie besitzen, da die Spuren im B-Feld auseinanderlaufen.

Übrige Cluster werden an die Spuren

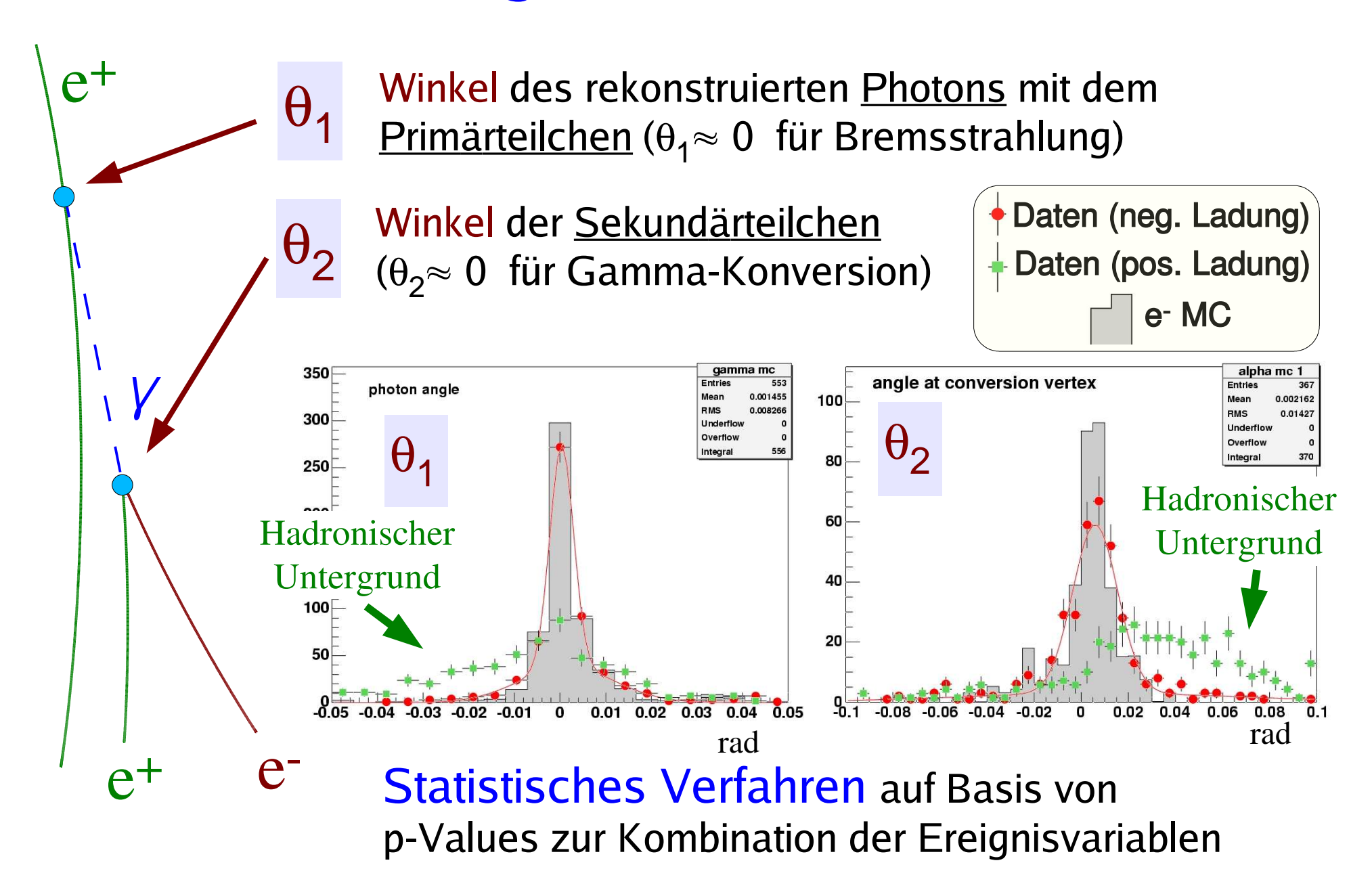
gefittet, finde die Kombination mit
niedrigstem  $\chi^2$  Lage für Lage

Neuer kombinatorischer Algorithmus: erhöhte Effizienz – und Rechenzeit.



bending

## Ereignisrekonstruktion

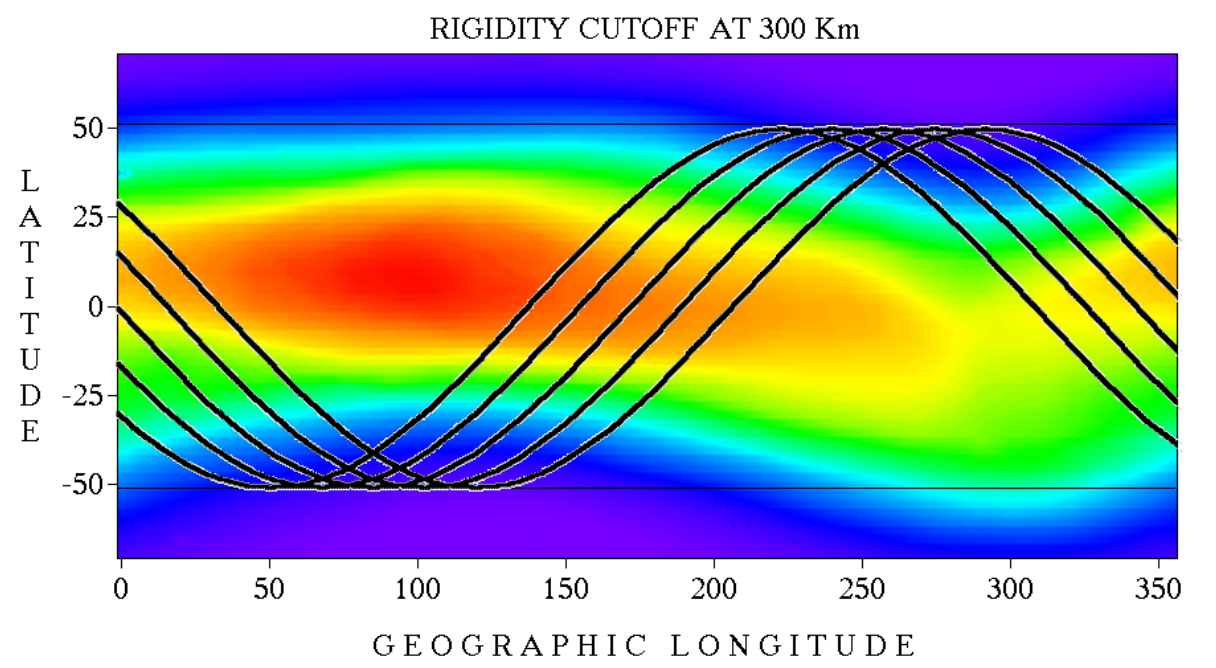


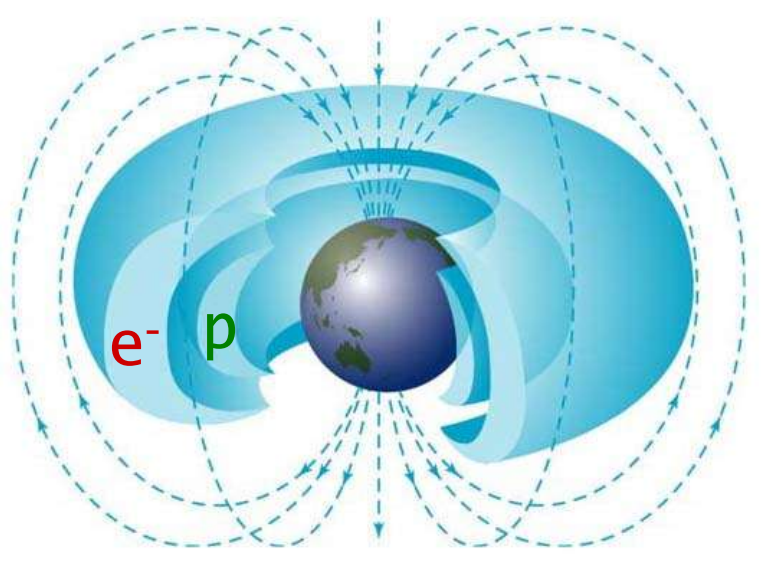
## Rigidity cutoff

### Rückverfolgung jedes einzelnen Kandidaten im Magnetfeld ("backtracing")

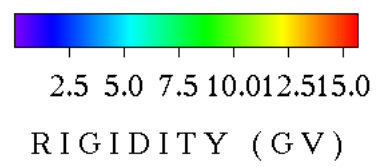
Teilchen wird verworfen, wenn:

- es aus der Atmosphäre kommt
- es zu lange gefangen war





 → Orts- und richtungsabhängiger Mindestimpuls ("rigidity cutoff")



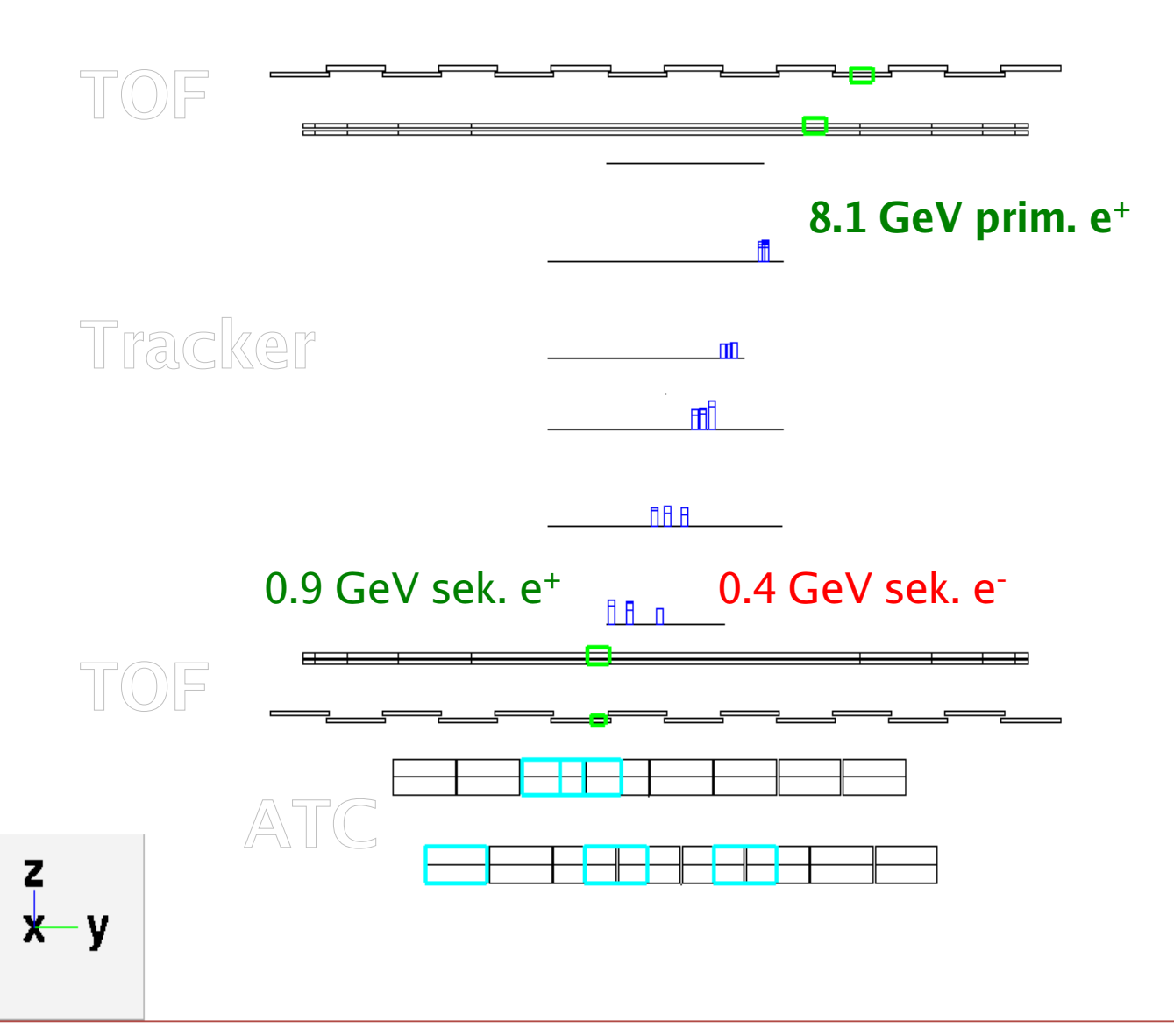


Run 896975869/86574

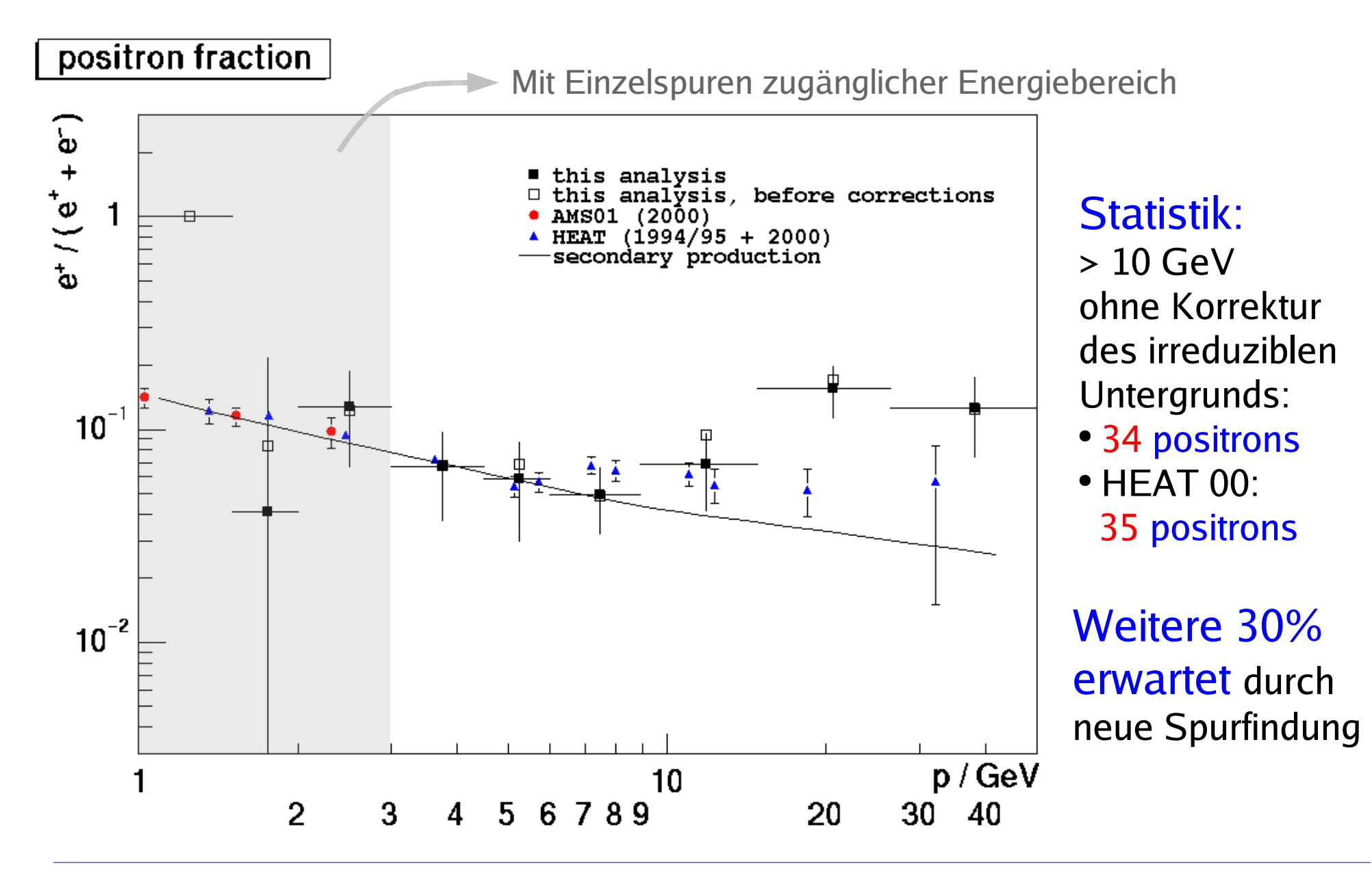
Thu Jun 4 18:05:33 1998

## Alpha Magnetic Spectrometer Event Display

## Positron-Kandidat ( $p_{ges} = 9.4 \text{ GeV}$ )



## Vorläufige positron fraction



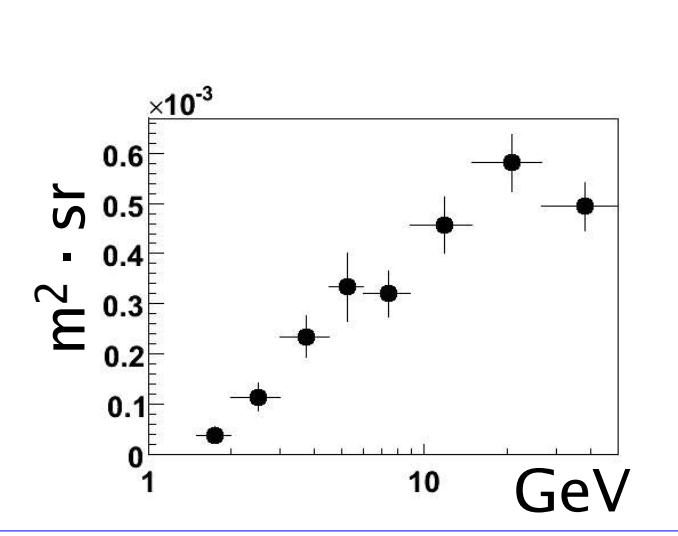
## Flussmessung und Spektren

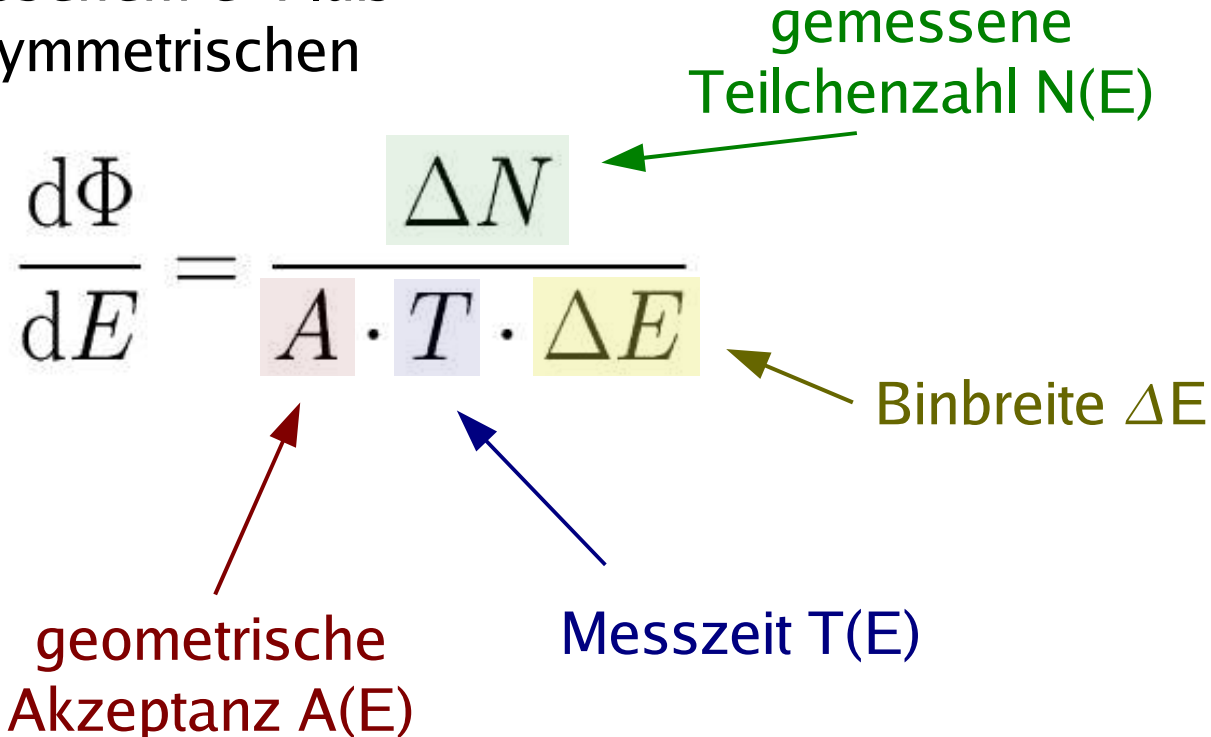
#### Detektorunabhängiger Teilchenfluss als Funktion der Energie

 $[GeV \cdot m^2 \cdot sr \cdot sec ]^{-1}$ 

#### Ziel der Flußmessung

- Cross-check mit gemessenem e--Fluß
- Suche nach ladungsasymmetrischen Effekten





raw positrons

p [GeV]

## Bestimmung der Meßzeit

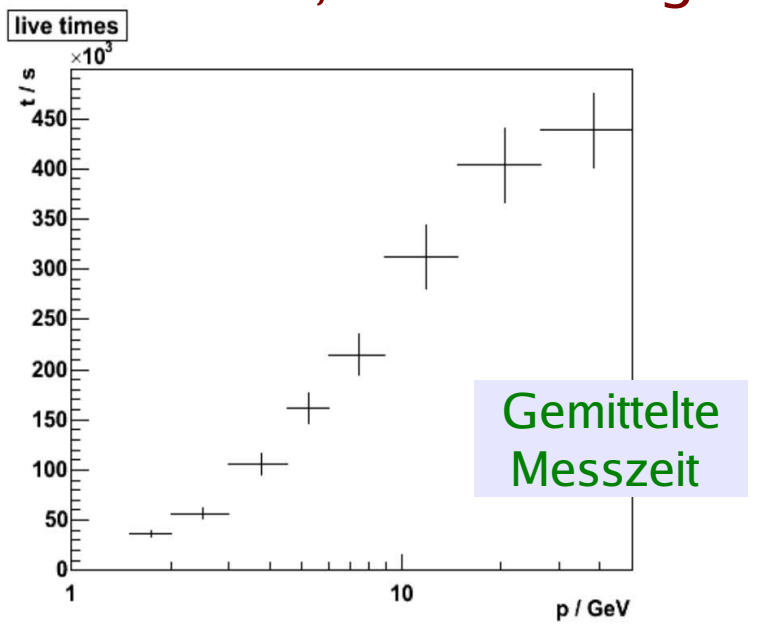
### Binning der Detektorakzeptanz:

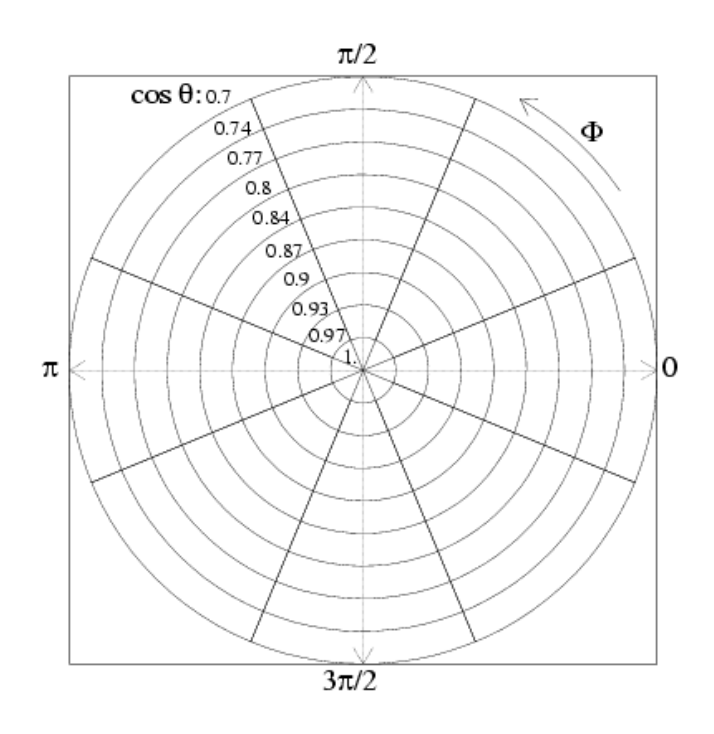
72 bins in  $\phi \cdot \cos \theta$ 

8 Impulsbereiche zwischen 1-50 GeV

## Über die gesamte Datenmenge chronologisch alle 4 Sekunden:

- Bestimme die Ortsparameter des Shuttles
- Backtracing eines "virtuellen" Teilchens: für alle bins, für alle Energien





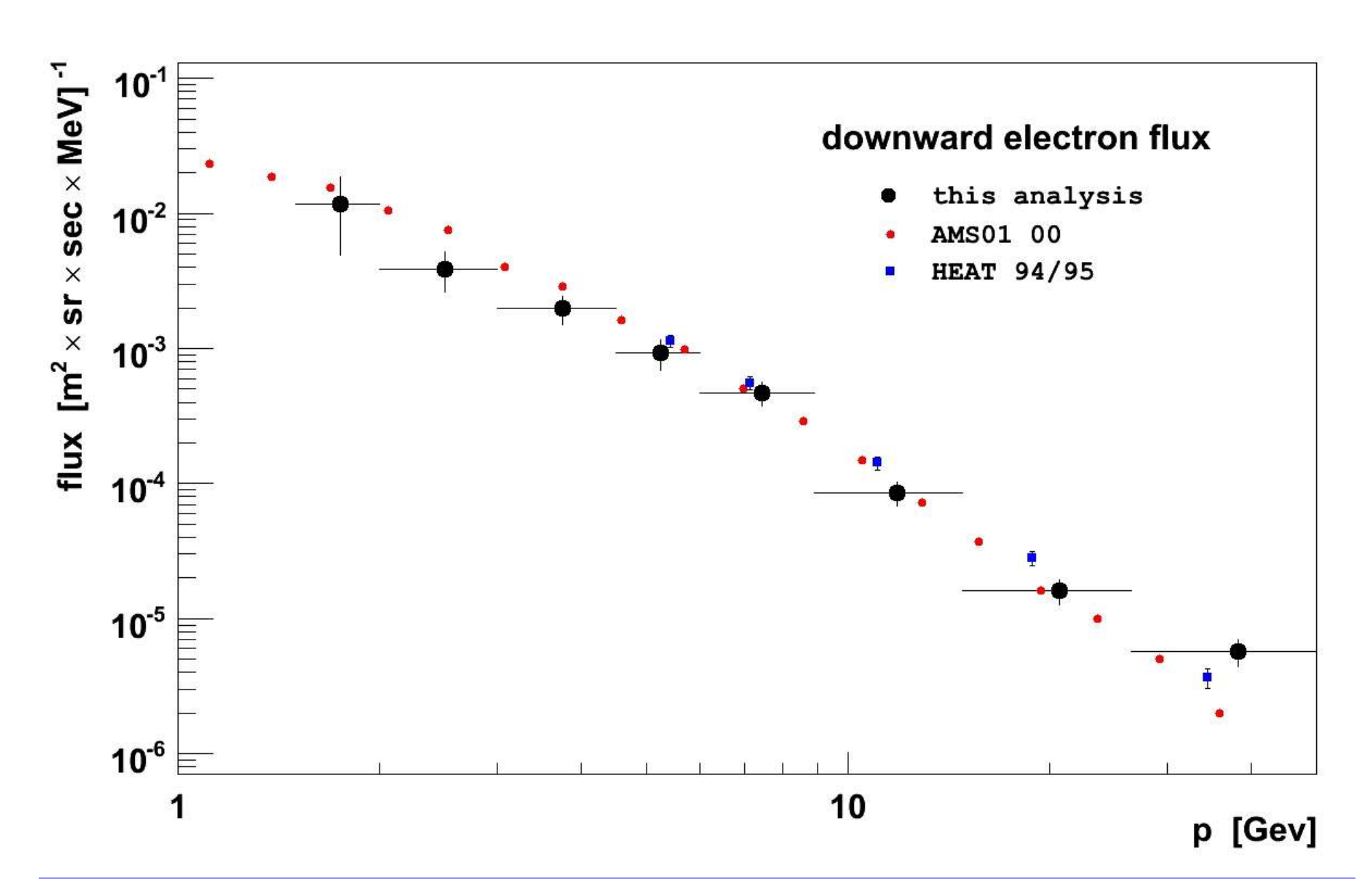
#### Für Elektronen, Positronen: 11

ca. 550.000.000 backtracings ≈ 5.000-6.000 1GHz CPU-Tage

Physik-Cluster Aachen & Kyungpook National University, Korea

Soeben abgeschlossen!

## Vorläufiges Elektronspektrum (1)



## Zusammenfassung

Messung des Positronenanteils e<sup>+</sup>/(e<sup>+</sup>+e<sup>-</sup>) in der kosmischen Strahlung

Erkenntnis über Quellen und Propagation der kosmischen Strahlung Indirekte Suche nach dunkler Materie in Form von SUSY-WIMPs

#### AMS01

Prototyp eines ambitionierten Teilchendetektors zum Betrieb im Weltraum

Ereignisse mit konvertierten Bremsstrahlungsphotonen

ermöglicht Identifikation von Positronen bis 50 GeV (früher 3.5 GeV)

wesentlicher Untergrund: Proton-Ereignisse mit hadronischer Wechselwirkung

Zusätzlich: Messung des absoluten Elektronflusses

erfordert aufwändiges Backtracing

Cross-Check mit gemessenem Fluss

#### Zu tun bleibt:

Modellierung und Subtraktion des irreduziblen Untergrunds aus den Daten und MC